Трансформация геодезической акустической моды в присутствии низкочастотного зонального течения в плазме токамака

 $E. A. Сорокина^{1)}$

Национальный исследовательский центр "Курчатовский институт", 123182 Москва, Россия Поступила в редакцию 11 августа 2024 г.

После переработки 2 октября 2024 г. Принята к публикации 3 октября 2024 г.

Предложен механизм нелинейного взаимодействия геодезической акустической моды (ГАМ) и низкочастотного зонального течения (ЗТ), объясняющий наблюдаемое в экспериментах на токамаках появление сателлитов ГАМ. Взаимодействие собственных мод существенно различных частот приводит к модуляции амплитуды колебаний ГАМ на частоте колебаний ЗТ, что проявляется в спектре колебаний в виде двух боковых гармоник вблизи частоты ГАМ. Частоты указанных гармоник отвечают сумме и разности частот ГАМ и ЗТ. Триггером эффекта служит стационарное тороидальное вращение плазмы.

DOI: 10.31857/S0370274X24110039, EDN: IICDOQ

Геодезические акустические моды (ГАМ) относятся к числу наиболее активно исследуемых явлений современной физики плазмы [1]. ГАМ регистрируются практически на всех ведущих токамаках в виде полоидально и тороидально симметричных (m = 0, n = 0) колебаний электрического потенциала плазмы на частоте $\sim 20\,\mathrm{k}\Gamma$ ц, сопровождаемых полоидально асимметричными (m=1) колебаниями плотности плазмы. При этом движение плазмы происходит вдоль магнитных поверхностей токамака, что относит ГАМ к высокочастотной ветви зональных течений 2). Тем не менее считается, что такие колебания играют существенную роль в физике турбулентного переноса [2]. В плазме зачастую присутствуют и относительно низкочастотные зональные течения, которые представляют собой довольно универсальный физический процесс, наблюдаемый, в том числе, в атмосферах планет солнечной системы [3].

Наиболее универсальным методом диагностики ГАМ является зондирование плазмы пучком тяжелых ионов [4–8]. Этой диагностикой ГАМ регистрируется как согласованные колебания электрического потенциала и концентрации электронов, наряду с которыми могут обнаруживаться также и магнитные флуктуации плазмы [9]. В ряде экспериментов для

регистрации ГАМ используются и другие средства, такие как корреляционная и допплеровская рефлектометрия, обратное рассеяние, ленгмюровские зонды [10–14]. Магнитная компонента ГАМ может быть обнаружена посредством использования магнитных зондов [15].

Отметим, что хотя ГАМ как магнитогидродинамическое (МГД) колебание затрагивает возмущения целого набора физических величин, его отличительной чертой является доминирующее колебание электрического потенциала. Поэтому в настоящей работе мы, следуя теории классических ГАМ, ограничиваемся электростатическим приближением.

Систематические исследования с использованием диагностики пучком тяжелых ионов на токамаке Т-10 [12, 16–18] позволили установить, что в ряде разрядов в спектре колебаний потенциала плазмы вблизи теоретически рассчитанной частоты ГАМ наблюдаются два амплитудных пика, разделенные интервалом ~ 5 к Γ ц; для более высокочастотного пика авторы использовали термин сателлит.

Базовая теория сплошного спектра ГАМ [19] не объясняет данный эффект, предсказывая наличие лишь одной моды с частотой $\omega_{\rm GAM} = \omega_s \sqrt{2+1/q^2}$, где ω_s — частота звука, q — коэффициент запаса устойчивости.

Стационарное вращение плазмы оказывает существенное влияние на ее параметры. Даже чисто тороидальное вращение приводит к тому, что в равновесии давление плазмы не является функцией магнитной поверхности $p \neq p(\Psi)$, т. е. плазма оказывается стратифицирована по полоидальному углу. В

¹⁾e-mail: Sorokina EA@nrcki.ru

²⁾Здесь и ниже под зональными течениями понимаем колебательное движение плазмы вдоль магнитных поверхностей (компоненты смещения и макроскопической скорости плазмы в нормальном к поверхностям направлении отсутствуют), отделяя его от стационарного (в том числе дифференциального) вращения.

этом случае возмущение скорости в полоидальном направлении приводит к появлению колебаний конечной частоты [20, 21] — так называемому низкочастотному зональному течению (ниже, для краткости, ЗТ). В результате в спектре колебаний вращающейся плазмы присутствуют две собственные моды: высокочастотная (ВЧ) ГАМ и низкочастотное (НЧ) ЗТ. Частота ЗТ связана со скоростью стационарного вращения плазмы и обращается в нуль при его отсутствии.

К формированию ЗТ могут приводить и иные эффекты, в том числе дрейфовые [22], анизотропия давления плазмы [23, 24] и др.

На существование ЗТ имеются прямые указания в экспериментах [25], хотя их экстремально низкая частота существенно затрудняет возможность достоверной идентификации моды по сравнению с той же ГАМ. На токамаке Т-10 систематические исследования ЗТ не проводились, однако опубликованные спектрограммы колебаний электрического потенциала плазмы в ряде разрядов [26] отчетливо демонстрируют наличие амплитудного пика колебаний в районе $\sim 2 \, \mathrm{к} \Gamma \mathrm{ц}$, который естественно ассоциировать с ЗТ. Присутствие ЗТ в плазме Т-10 также обнаруживают средства корреляционной рефлектометрии [12].

В настоящей работе показано, что наблюдаемая экспериментально "двугорбость" спектра ГАМ (наличие сателлита) является естественным следствием нелинейного взаимодействия собственных мод потенциальных колебаний плазмы, ГАМ и ЗТ. Для такого взаимодействия существенными факторами оказываются кривизна магнитного поля и наличие стационарного тороидального вращения плазмы. Первый приводит к зацеплению колебаний электрического потенциала и давления плазмы, формируя ГАМ, а второй обеспечивает ненулевую частоту ЗТ.

Рассматриваемые колебания традиционно описываются стандартной системой МГД-уравнений (используется система единиц СГС, c – скорость света):

$$\rho \frac{\partial \mathbf{v}}{\partial t} + \rho(\mathbf{v} \cdot \nabla)\mathbf{v} = -\nabla p + \frac{1}{c}[\mathbf{j} \times \mathbf{B}], \tag{1}$$

$$\frac{\partial \rho}{\partial t} + \operatorname{div}(\rho \mathbf{v}) = 0, \tag{2}$$

$$\frac{\partial p}{\partial t} + \gamma p \operatorname{div} \mathbf{v} + \mathbf{v} \cdot \nabla p = 0, \tag{3}$$

$$\operatorname{div}\mathbf{j} = 0,\tag{4}$$

$$[\mathbf{v} \times \mathbf{B}] = c \nabla \phi. \tag{5}$$

Уравнение (1) есть уравнение движения плазмы, уравнения (2), (3) — уравнения непрерывности и адиабаты с показателем γ , (4) — условие квазинейтральности. Последнее уравнение (5) отражает элек-

тростатический характер рассматриваемых возмущений. Используются стандартные обозначения: ρ – плотность плазмы, p – давление, ϕ – потенциал электрического поля, \mathbf{v} – скорость, \mathbf{j} – плотность тока, \mathbf{B} – магнитное поле, возмущениями которого пренебрегается.

Любую величину $f(\mathbf{r},t)=\{p,\rho,\phi,\mathbf{v},\mathbf{j}\}$ в уравнениях (1)–(5) представим в виде комбинации ее стационарной (равновесной) части и возмущенной части, зависящей от времени: $f(\mathbf{r},t)=f_0(\mathbf{r})+f'(\mathbf{r},t)$. Интересующие нас возмущения в дальнейшем будем представлять в виде суперпозиции колебаний ГАМ и ЗТ:

$$f' = f'_{GAM} + f'_{ZF}. (6)$$

Независящая от времени часть уравнений (1)— (5) описывает равновесие плазмы. В дальнейшем, следуя классическому подходу В. Д. Шафранова [27], будем использовать смешанное представление магнитного поля $\mathbf{B} = F(\Psi)\nabla\varphi + [\nabla\Psi\times\nabla\varphi]$, где Ψ метка магнитной поверхности, F функция полоидального тока. Поле скоростей тороидально вращающейся плазмы представляем в стандартном виде $\mathbf{v}_0 = R^2\Omega(\Psi)\nabla\varphi$, где Ω — угловая частота вращения. Полоидальная неоднородность давления плазмы, вызванная вращением, описывается уравнением [28–31]:

$$\left(\frac{\partial p_0}{\partial R}\right)_{\text{Tr}} - \rho_0 \Omega^2 R = 0. \tag{7}$$

Здесь и далее используются цилиндрическая система координат $\{R, \varphi, z\}$ (φ — тороидальный угол), связанная с геометрическим центром тора, и полярные координаты $\{r, \theta\}$ (θ — полоидальный угол) в сечении φ = const. связанные с магнитной осью.

Ориентируясь, главным образом, на измерения, проведенные на установке T-10, рассмотрим магнитную конфигурацию с круглыми концентрическими магнитными поверхностями

$$\Psi = \Psi(r) = \frac{B_a r^2}{2q(r)},$$

где B_a — поле на магнитной оси токамака, считая параметр r/R_0 (R_0 — большой радиус токамака) малым.

Решение уравнения (7) удобно искать в виде

$$p_0 = \rho_0^{\alpha} \Pi(\Psi),$$

где $\Pi(\Psi)$ – некая функция магнитной поверхности, а α – параметр, определяющий тип динамического равновесия плазмы [31, 32]. Значение $\alpha = \gamma$ соответствует равновесию с изоэнтропными магнитными

поверхностями, при $\alpha \to \infty$ функцией магнитной поверхности является плотность, а при $\alpha=1$ – температура плазмы.

Тогда из уравнения (7) следуют выражения, описывающие зависимость давления и плотности плазмы от полоидального угла, которые в первом порядке разложения по r/R_0 имеют вид:

$$p_0 = \bar{p}_0(r) \left(1 + \frac{r}{R_0} \gamma M^2 \cos \theta \right),$$

$$\rho_0 = \bar{\rho}_0(r) \left(1 + \frac{r}{R_0} \frac{\gamma}{\alpha} M^2 \cos \theta \right). \tag{8}$$

Здесь \bar{p}_0 и \bar{p}_0 – средние на магнитной поверхности величины давления и массовой плотности плазмы, соответственно; $\omega_s = \sqrt{\gamma \bar{p}_0/\bar{p}_0}/R_0$ – рассчитанная по ним частота звука, $M = \Omega/\omega_s$ – тороидальное число Маха.

Неоднородность магнитного поля в том же приближении дается выражением

$$B = B_a \left(1 - \frac{r}{R_0} \cos \theta \right). \tag{9}$$

Нестационарная часть уравнений (1)–(5) описывает динамику ГАМ и ЗТ. Из уравнения (5) следует, что потенциал электрического поля постоянен на магнитной поверхности токамака, $\phi' = \phi'(\Psi)$, а возмущение скорости имеет вид

$$\mathbf{v}' = \frac{\mathbf{B}}{R^2} (Bv'_{\parallel} - cFA) + cR^2 A \nabla \varphi, \tag{10}$$

где $A(\Psi) \equiv d\phi'/d\Psi$ обозначает величину, пропорциональную амплитуде колебаний электрического поля, v'_{\parallel} – возмущение продольной скорости плазмы.

Уравнения, описывающие динамику плотности, давления и продольной скорости ГАМ и ЗТ, после подстановки выражения для возмущенной скорости (10) в уравнения (2), (3) и в продольную проекцию уравнения движения (1) имеют вид:

$$\frac{\partial \rho'}{\partial t} + \frac{\rho_0}{B} \mathbf{B} \cdot \nabla v'_{\parallel} - cFA\mathbf{B} \cdot \nabla \frac{\rho_0}{B^2} = \frac{cFA}{B^2} \mathbf{B} \cdot \nabla \rho', \tag{11}$$

$$\frac{\partial p'}{\partial t} + \frac{\gamma p_0}{B} \mathbf{B} \cdot \nabla v'_{\parallel} - cFA \times \times \left(\gamma p_0 \mathbf{B} \cdot \nabla \frac{1}{B^2} + \frac{1}{B^2} \mathbf{B} \cdot \nabla p_0 \right) = \frac{cFA}{B^2} \mathbf{B} \cdot \nabla p', \quad (12)$$

$$\frac{\partial v'_{\parallel}}{\partial t} + \frac{\mathbf{B} \cdot \nabla p'}{B \rho_0} - \frac{c\Omega A}{B} \mathbf{B} \cdot \nabla R^2 = \frac{cFA}{B^2} \mathbf{B} \cdot \nabla v'_{\parallel}. \quad (13)$$

Левые части уравнений (11)–(13) содержат линейные по амплитуде возмущений слагаемые, а правые

части – квадратичную нелинейность, рассмотрением которой мы ограничиваемся в настоящей работе.

Для анализа уравнения квазинейтральности представим возмущенную плотность тока в виде суммы поперечной и продольной к магнитному полю компонент: $\mathbf{j}' = \mathbf{j}'_{\perp} + \mathbf{B}j'_{\parallel}/B$. Тогда уравнение (4) принимает вид:

$$\operatorname{div} \mathbf{j}'_{\perp} + \mathbf{B} \cdot \nabla \frac{j'_{\parallel}}{B} = 0. \tag{14}$$

Для произвольной функции координат и времени $f(\mathbf{r},t)$ введем операцию усреднения по магнитной поверхности,

$$< f > = \frac{\oint J f d\theta d\varphi}{\oint J d\theta d\varphi},$$

где $J = ([\nabla \Psi \times \nabla \varphi] \cdot \nabla \theta)^{-1}$ – якобиан перехода от координат $\{R, \varphi, z\}$ к координатам $\{\Psi, \varphi, \theta\}$.

Тогда с использованием известных тождеств: $<\mathbf{B}\cdot\nabla f>=0$ и $<\mathrm{div}\,\mathbf{a}>=d<\mathbf{a}\cdot\nabla\Psi>/d\Psi$ (\mathbf{a} – произвольный вектор) – уравнение (14) приводит к условию $d(\oint J(\mathbf{j}'\cdot\nabla\Psi)d\theta)/d\Psi=0$.

Для описания локализованных мод сплошного спектра потребуем равенство нулю самого интеграла, стоящего под производной $d/d\Psi$. Выражая поперечную компоненту плотности тока из $[{\bf B} \times \nabla \Psi]$ -проекции уравнения (1), имеем

$$\oint \left[p' \mathbf{B} \cdot \nabla \frac{1}{B^2} + \frac{c\rho_0 |\nabla \Psi|^2}{FB^2} \frac{\partial A}{\partial t} + \frac{\Omega}{B^2} (\mathbf{B} \cdot \nabla R^2) \left(\frac{\Omega \rho'}{2} + \frac{\rho_0 v'_{\parallel}}{R} \right) \right] d\theta = 0.$$
(15)

Уравнения (11)–(13) и (15) составляют замкнутую систему для описания Γ AM и 3T.

В дальнейшем удобно исключить возмущения v'_{\parallel} и ρ' и свести систему уравнений (11)–(13), (15) к двум связанным уравнениям, описывающим зацепление возмущений давления и электрического поля:

$$\frac{\partial^{2} p'}{\partial t^{2}} - \frac{\omega_{s}^{2} R^{2}}{B^{2}} \mathbf{B} \cdot \nabla (\mathbf{B} \cdot \nabla p') + \frac{\gamma p_{0} c \Omega A}{B^{2}} \mathbf{B} \cdot \nabla (\mathbf{B} \cdot \nabla R^{2}) - cF \frac{\partial A}{\partial t} \left(\gamma p_{0} \mathbf{B} \cdot \nabla \frac{1}{B^{2}} + \frac{1}{B^{2}} \mathbf{B} \cdot \nabla p_{0} \right) =
= \frac{cF}{B^{2}} \left(2A \mathbf{B} \cdot \nabla \frac{\partial p'}{\partial t} + \frac{\partial A}{\partial t} \mathbf{B} \cdot \nabla p' \right) - c^{2} R^{2} A^{2} \times
\times \left(\gamma p_{0} \mathbf{B} \cdot \nabla (\mathbf{B} \cdot \nabla \frac{1}{B^{2}}) + \frac{1}{B^{2}} \mathbf{B} \cdot \nabla (\mathbf{B} \cdot \nabla p_{0}) \right), \quad (16)$$

$$\oint \left[\frac{\partial^{2} A}{\partial t^{2}} + \frac{\Omega^{2} R^{2}}{2|\nabla \Psi|^{2}} A(\mathbf{B} \cdot \nabla R^{2}) \times \right]$$

$$\times \left(\frac{\mathbf{B} \cdot \nabla \rho_{0}}{\rho_{0}} - \frac{\mathbf{B} \cdot \nabla p_{0}}{\gamma p_{0}} + \frac{2\mathbf{B} \cdot \nabla R^{2}}{R^{2}} \right) + \frac{1}{c\rho_{0}|\nabla \Psi|^{2}} \times \right]$$

$$\times \left(FB^{2} \frac{\partial p'}{\partial t} \mathbf{B} \cdot \nabla \frac{1}{B^{2}} + (\mathbf{B} \cdot \nabla R^{2}) \times \right]$$

$$\times \left(\frac{F\Omega^{2}}{2R^{2}\omega_{s}^{2}} \frac{\partial p'}{\partial t} - \Omega \mathbf{B} \cdot \nabla p' \right) - \left[\frac{\Omega F}{\gamma p_{0}} \frac{(\mathbf{B} \cdot \nabla R^{2})}{|\nabla \Psi|^{2}} \left(A \frac{\partial p'}{\partial t} - \right) - \frac{cFA^{2}}{B^{2}} \left(\mathbf{B} \cdot \nabla p_{0} + \gamma p_{0}B^{2} \mathbf{B} \cdot \nabla \frac{1}{B^{2}} \right) \right) d\theta = 0. \quad (17)$$

В линейном приближении совместное решение уравнений (16), (17) определяет частоты двух независимых ветвей колебаний, амплитуды которых в рамках данного приближения, разумеется, не определены.

Поскольку частота ЗТ существенно ниже частоты ГАМ, будем полагать, что наличие ЗТ в силу нелинейности приведет к медленному изменению амплитуды ГАМ. Таким образом, будем искать решение уравнений (16), (17) в виде

$$p' = P(t) \exp(-i\omega t), \quad A = \bar{A}(t) \exp(-i\omega t),$$

где ω — частота моды, P и \bar{A} — амплитуды колебаний давления и электрического поля соответственно, причем

$$\frac{\partial P}{\partial t} \ll \omega P, \quad \frac{\partial \bar{A}}{\partial t} \ll \omega \bar{A}.$$
 (18)

Тогда исходные уравнения разбиваются на "быстрые" и "медленные" части; при этом "быстрые" уравнения определяют частоты собственных мод, а "медленные" — изменение амплитуд мод под влиянием нелинейных слагаемых.

"Быстрые" уравнения совпадают с уравнениями линейной теории. Условие их совместности приводит к известному дисперсионному уравнению

$$\omega^4 - \omega_s^2 \omega^2 \left(2 + \frac{1}{q^2} + 4M^2 + \frac{\gamma M^4}{2\alpha}\right) + \omega_s^4 \frac{\gamma - \alpha}{\alpha} \frac{M^4}{2q^2} = 0, \tag{19}$$

впервые полученному в аналогичном виде в работе [32] и впоследствии верифицированному при анализе глобальных мод ГАМ и ЗТ в [33, 34].

Дисперсионное уравнение (19) имеет два корня, бо́льший из которых соответствует ГАМ, а меньший – 3T:

$$\omega_{\text{ZF}}^{2} = \frac{\omega_{s}^{2}}{2} \left\{ 2 + \frac{1}{q^{2}} + 4M^{2} + \frac{\gamma M^{4}}{2\alpha} \pm \sqrt{\left(2 + \frac{1}{q^{2}} + 4M^{2} + \frac{\gamma M^{4}}{2\alpha}\right)^{2} - \frac{\gamma - \alpha}{\alpha} \frac{2M^{4}}{q^{2}}} \right\}. \quad (20)$$

В линейном приближении ГАМ устойчива. Наличие стационарного тороидального вращения плазмы приводит к модификации частоты ГАМ; при M=0 выражение (20) переходит в стандартный закон дисперсии $\omega_{\text{GAM}}=\omega_s\sqrt{2+1/q^2}$.

ЗТ устойчиво и обладает конечной частотой, если $\alpha < \gamma$, и апериодически неустойчиво в обратном случае [35]. При $M \to 0$ частота ЗТ стремится к нулю $\sim M^2$:

$$\omega_{\rm ZF} \approx \frac{\omega_s M^2}{q\sqrt{2+1/q^2}} \sqrt{\frac{\gamma - \alpha}{2\alpha}}.$$
 (21)

В вырожденном случае изоэнтропных магнитных поверхностей ($\alpha=\gamma$) частота ЗТ равна нулю, как и в стационарной плазме.

Далее исследуем влияние нелинейных эффектов на временную динамику амплитуды ГАМ, описываемую "медленными" частями уравнений (16), (17). Разделим возмущения электрического поля и давления плазмы на возмущения типа ГАМ и ЗТ согласно (6); при этом в нелинейных слагаемых учтем взаимодействие ГАМ–ЗТ, но пренебрежем самовоздействием моды, т.е. слагаемыми $\sim \bar{A}_{\rm GAM}^2$. Итоговое уравнение для $\bar{A}_{\rm GAM}$ имеет вид

$$\frac{\partial \bar{A}_{GAM}}{\partial t} = i\nu \bar{A}_{GAM} A_{ZF}, \qquad (22)$$

где $\omega_{\rm GAM}$, $\omega_{\rm ZF}$ – собственные частоты (20), а

$$\begin{split} \nu &= \frac{cM}{q^2} \frac{\omega_s^3 (1 + M^2/2)}{2\omega_{\rm GAM}^2 - \omega_s^2 (1 + M^2/2)^2} \times \\ &\times \left[\frac{4\omega_{\rm GAM} + \omega_{\rm ZF}}{\omega_{\rm GAM}^2 - \omega_s^2/q^2} + \frac{3\omega_{\rm GAM} + 2\omega_{\rm ZF}}{\omega_{\rm ZF}^2 - \omega_s^2/q^2} \right] \end{split}$$

— коэффициент нелинейного взаимодействия ГАМ и ЗТ. Условие слабой нелинейности (18) имеет вид $\eta = |\nu A_{\rm ZF}/\omega_{\rm GAM}| \ll 1$.

Правая часть уравнения (22) пропорциональна произведению амплитуд колебаний электрического поля ГАМ и ЗТ, а также частоте стационарного вращения плазмы. Таким образом, в отсутствие стационарного вращения моды не взаимодействуют, и амплитуда ГАМ постоянна.

Рассмотрим случай устойчивого ЗТ конечной частоты, реализующийся при $\gamma > \alpha$. Будем решать уравнение (22) итерационно, используя в его пра-

вой части амплитуды линейных мод, не зависящие от времени: $\bar{A}_{\rm GAM}=A_{\rm GAM}^0={
m const}$ и

$$A_{\rm ZF}(t) = A_{\rm ZF}^0 \cos(\omega_{\rm ZF} t), \quad A_{\rm ZF}^0 = \text{const.}$$
 (23)

Постоянство амплитуды ЗТ оправдано сильным взаимодействием зональных течений с дрейфовой турбулентностью в реальных условиях эксперимента [36], что делает их огромным энергетическим резервуаром.

Итоговое выражение, описывающее колебания электрического поля ΓAM переменной амплитуды, имеет вил:

$$A_{\text{GAM}}(t) = A_{\text{GAM}}^{0}(1 + k\cos(\omega_{\text{ZF}}t))\cos(\omega_{\text{GAM}}t), \quad (24)$$

где

$$k = \frac{cqA_{\rm ZF}^0}{\omega_s M} \sqrt{\frac{2\alpha}{\gamma - \alpha}} \frac{(2 + 1/q^2)(3 - 2/q^2)}{(3 + 2/q^2)}.$$

Для большей наглядности мы приводим упрощенное выражение для коэффициента k, справедливое для дозвуковых скоростей вращения плазмы, M<1. Коэффициент k связан с постоянной взаимодействия ν и параметром нелинейности η соотношениями: $k=-\nu A_{\rm ZF}^0/\omega_{\rm ZF}, \, \eta=|k\omega_{\rm ZF}/\omega_{\rm GAM}|.$

Последнее слагаемое в (24) можно переписать в виде $0.5 (\cos(\omega_{\text{GAM}} - \omega_{\text{ZF}})t + \cos(\omega_{\text{GAM}} + \omega_{\text{ZF}})t)$. Таким образом, амплитудно-модулированное колебание ГАМ представляет собой сумму трех колебаний с частотами $\omega_{\rm GAM}$, $\omega_{\rm GAM}+\omega_{\rm ZF}$ и $\omega_{\rm GAM}-\omega_{\rm ZF}$. На языке радиотехники колебание на частоте ω_{GAM} является несущим. Две остальные частоты называются боковыми частотами, или спутниками (сателлитами). Амплитуда каждого спутника равна $kA_{\rm GAM}^0/2$. Коэффициент k определяет глубину модуляции. Он пропорционален амплитуде ЗТ, а именно, отношению возмущения тороидальной скорости Е × В-дрейфа к скорости звука и обратно пропорционален тороидальному числу Маха. Даже при слабой нелинейности, характеризуемой параметром η , k может быть заметной величиной, особенно при небольших (дозвуковых) скоростях тороидального вращения. Поскольку частота ЗТ пропорциональна квадрату числа Маха, при стремлении стационарной скорости вращения к нулю эффект модуляции будет пропадать, несмотря на усиление коэффициента, характеризующего глубину модуляции. Так же сателлиты ГАМ естественным образом пропадают при стремлении к нулю амплитуды ЗТ.

Для сравнения с экспериментом удобно переписать параметр k, определяющий глубину модуляции, через отношение электрических полей, связанных с

ЗТ, $E'_{\rm ZF}$, и со стационарным вращением плазмы, E_0 . Для определенности далее рассмотрим равновесие, в котором магнитные поверхности являются изотермами, т. е. $\alpha=1,\ \gamma=5/3,$ считая при этом $1/q^2\ll 1.$ Тогда $k\approx 2\sqrt{3}qE'_{\rm ZF}/E_0.$

На рисунке 1 приведены экспериментально измеренные спектры колебаний электрического потенциала в плазме T- 10^3) в омической стадии разряда (рис. 1a) и в стадии разряда с комбинированным (центральным и нецентральным) ЭЦР-нагревом плазмы (рис. 1b) [26]. В омической стадии выделяются два пика вблизи частоты ГАМ ($f \approx 19\,\mathrm{к}\Gamma$ ц и $f \approx 23\,\mathrm{k}\Gamma$ ц). На рисунке 1a также отчетливо виден дополнительный максимум в районе $2\,\mathrm{k}\Gamma$ ц, который, по нашей гипотезе, соответствует 3T. Режим с мощным дополнительный нагревом характеризуется наличием одного пика на частоте $f \approx 24\,\mathrm{k}\Gamma$ ц (рис. 1b). Конечная ширина спектров обусловлена ограниченным по времени измерением цуга сигнала Γ AM – см. [39, 40].

Простое сопоставление рис. 1а и b демонстрирует очевидную корреляцию наличия сателлита с присутствием 3T.

Наблюдаемая картина описывается предложенной моделью. На рисунке 2 представлен рассчитанный спектр мощности сигнала колебаний электрического поля плазмы $A(t) = A_{\text{GAM}} + A_{\text{ZF}}$, где A_{GAM} определяется уравнением (24), а A_{ZF} – уравнением (23). Частоты мод определены данными экспериментов: на рис. $2a f_{\text{GAM}} = 21 \, \text{к} \Gamma \text{ц}, f_{\text{ZF}} = 2 \, \text{к} \Gamma \text{ц};$ на рис. 2b $f_{
m GAM} = 24\,
m k\Gamma$ ц, $f_{
m ZF} pprox 0$. Частота дискретизации в обоих расчетах – 200 кГц. Для сопоставления с экспериментом анализируется сигнал конечной длины в 1.5 мс с наложением окна Кайзера с параметром 22.8. Точками на рис. 2 показан спектр мощности, полученный путем Фурье-преобразования "идеального" гармонического сигнала бесконечной длины без умножения на функцию окна. Амплитуда зонального течения выбрана равной $A_{\rm ZF}^0 = 0.8 A_{\rm GAM}^0$; q=2.

Будем полагать, что в омическом режиме величина электрического поля, связанного со стационарным вращением плазмы, превышает поле ЗТ, $E'_{\rm ZF}/E_0=-0.55,$ что соответствует k=-3.8 ($\eta=0.36$). Спектр мощности соответствующего сигнала, представленный на рис. 2а, помимо низкочастотного максимума, связанного с ЗТ, демонстрирует наличие двух пиков на частотах $f_{\rm GAM}-f_{\rm ZF}=19\,{\rm к}\Gamma{\rm ц}$

 $^{^{3)}}$ Большой радиус токамака Т- $10-R_0=1.5\,\mathrm{m}$, малый радиус – $a=0.3\,\mathrm{m}$; представлены результаты измерений в центральной части плазменного шнура $r/a\sim0.3-0.4$ (см. [37, 38] о возможности диагностики центральной области плазмы в токамаке Т-10 пучком тяжелых ионов)

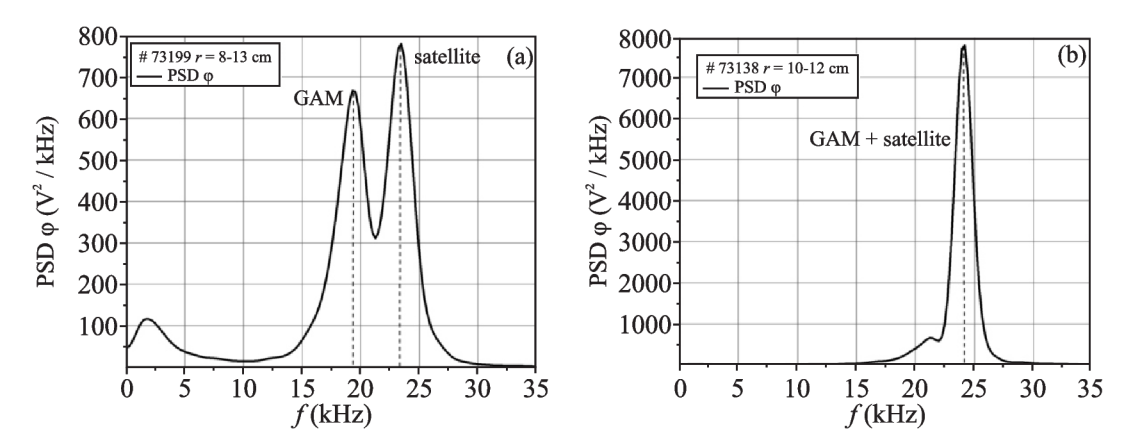


Рис. 1. Спектр мощности колебаний потенциала плазмы на токамаке Т-10 в омической стадии разряда (a) и в стадии разряда с комбинированным ЭЦР-нагревом (b). Рисунки воспроизведены с разрешения автора [26]

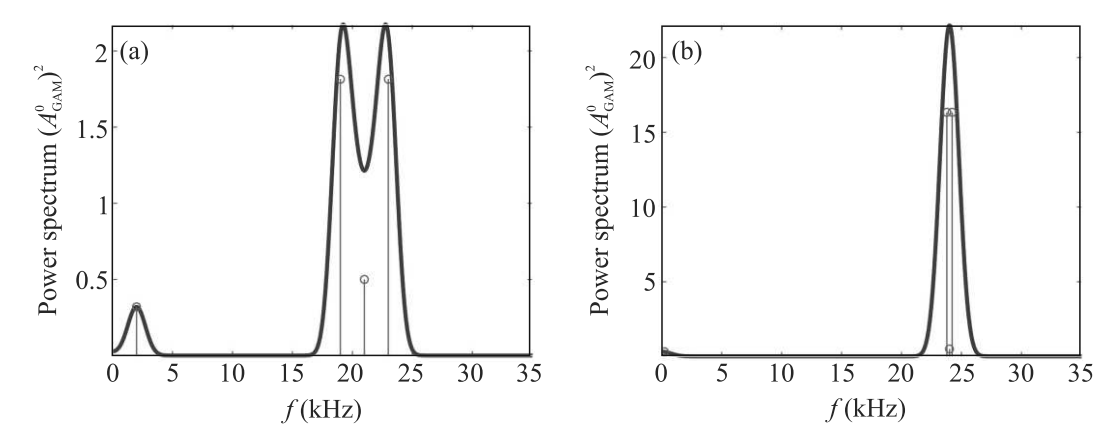


Рис. 2. (Цветной онлайн) Спектр мощности колебаний сигнала $A(t) = A_{\rm GAM} + A_{\rm ZF}$, рассчитанный с помощью уравнений (23) и (24) при: (а) $-E'_{\rm ZF}/E_0 = -0.55$, $f_{\rm GAM} = 21\,{\rm к}\Gamma{\rm ц}$, $f_{\rm ZF} = 2\,{\rm k}\Gamma{\rm ц}$; (b) $-E'_{\rm ZF}/E_0 = 1.65$, $f_{\rm GAM} = 24\,{\rm k}\Gamma{\rm ц}$, $f_{\rm ZF} = 0.2\,{\rm k}\Gamma{\rm ц}$. Сплошная линия отвечает спектру мощности сигнала конечной длины (моделирование эксперимента), точки – спектру мощности "идеального" сигнала

и $f_{\rm GAM}+f_{\rm ZF}=23\,{\rm к}\Gamma$ ц. Помимо этого, в модельном спектре также присутствует несущая частота ГАМ $f_{\rm GAM}=21\,{\rm k}\Gamma$ ц, однако за счет перекрытия сигналов конечной ширины и близких частот пик ГАМ не наблюдается. Описанная картина идентична экспериментальной – ср. рис. 1a и 2a.

По мере нагрева плазмы в токамаке Т-10 происходит существенное снижение величины стационарного электрического поля в плазме и даже изменение его направления [26, 41]. Поэтому для второго расчета будем полагать $E'_{\rm ZF}/E_0=1.65,$ что соответствует трехкратному снижению скорости стационарного вращения плазмы по сравнению с омической фазой. Соответствующие результаты расчета с $k=11.4~(\eta=0.1)$ представлены на рис. 2b. Ввиду малости M частота ЗТ близка к нулю, $f_{\rm ZF}=0.2~{\rm k}\Gamma_{\rm L}$. В результате частоты ГАМ и сателлитов не разрешаются – вблизи частоты ГАМ наблюдается единый пик – ср. с рис. 1b.

Резюмируем, что предложенный механизм нелинейного взаимодействия ВЧ (ГАМ) и НЧ (ЗТ) мод зональных течений в плазме токамака, приводящий к амплитудной модуляции ГАМ на частоте ЗТ, объясняет наличие двух пиков в спектре колебаний электрического потенциала плазмы, наблюдаемое посредством измерений пучком тяжелых ионов. Частотный сдвиг между пиками ГАМ равен удвоенной частоте ЗТ. При этом как сила межмодового взаимодействия, так и частота ЗТ определяются скоростью стационарного вращения плазмы.

Наблюдаемая картина спектра существенно зависит не только от глубины модуляции и частоты взаимодействующих мод, но и от разрешения сигнала. При увеличении разрешения, помимо наблюдения сателлитов, следует ожидать появление в спектре центрального пика на несущей частоте ГАМ. Кроме того, влияние на спектр колебаний способны оказывать фазовые соотношения между ГАМ, ЗТ и

направлением стационарного вращения плазмы. Так, учет синусных гармоник в (24) приводит к различию амплитуд пиков сателлитов (см. рис. 1а).

Таким образом, можно заключить, что эксперименты по наблюдению ГАМ в токамаках демонстрируют классический механизм нелинейного взаимодействия ВЧ и НЧ мод. Аналогичные явления известны в различных областях физики и свойственны, например, плазменным разрядам [42], механическим колебаниям консольных балок и пластин [43–45], оптомеханическим системам [46] и др.

Отметим, что хотя сам результат рождения сателлитов при взаимодействии собственных мод существенно различных частот хорошо известен в теории нелинейных колебаний [47], особенностью ГАМ является отсутствие дисперсии, поэтому стандартные рассуждения в терминах параметрических резонансов к ней неприменимы. Сателлиты ГАМ не являются собственными модами, поэтому возможность последовательной генерации высших гармоник, характерной для процесса параметрического возбуждения [48], требует отдельного рассмотрения.

Автор благодарит В. И. Ильгисониса за идею рассмотрения взаимодействия НЧ и ВЧ собственных мод зональных течений в качестве причины наблюдения сателлитов ГАМ.

Финансирование работы. Работа проведена в рамках выполнения государственного задания Национального исследовательского центра "Курчатовский институт".

Конфликт интересов. Автор данной работы заявляет, что у нее нет конфликта интересов.

- G. D. Conway, A. I. Smolyakov, and T. Ido, Nucl. Fusion 62, 013001 (2022).
- 2. P. H. Diamond, S.-I. Itoh, K. Itoh, and T. S. Hahm, Plasma Phys. Control. Fusion 47, R35 (2005).
- 3. A.V. Melnikov, Nature Phys. 12, 386 (2016).
- P. M. Schoch, K. A. Connor, D. R. Demers, and X. Zhang, Rev. Sci. Instrum. 74, 1848 (2003).
- T. Ido, Y. Miura, K. Kamiya, Y. Hamada, K. Hoshino, A. Fujisawa, K. Itoh, S.-I. Itoh, A. Nishizawa, H. Ogawa, Y. Kusama, and JFT-2M group, Plasma Phys. Control. Fusion 48, S41 (2006).
- 6. A. Fujisawa, K. Itoh, A. Shimizu et al. (Collaboration), Phys. Plasmas 15, 055906 (2008).
- 7. A.V. Melnikov, L.I. Krupnik, L.G. Eliseev et al. (Collaboration), Nucl. Fusion **57**, 072004 (2017).
- 8. M. Sasaki, K. Itoh, T. Ido, A. Shimizu, T. Kobayashi, H. Arakawa, N. Kasuya, A. Fujisawa, and S.-I. Itoh, Plasma Fusion Res. **13**, 3403040 (2018).

- 9. Н. С. Сергеев, А. В. Мельников, Л. Г. Елисеев, Письма в ЖЭТФ **119**, 817 (2024).
- V. A. Vershkov, D. A. Shelukhin, S. V. Soldatov, A. O. Urazbaev, S. A. Grashin, L. G. Eliseev, A. V. Melnikov and the T-10 team, Nucl. Fusion 45, S203 (2005).
- G.D. Conway, B. Scott, J. Schirmer, M. Reich and ASDEX Upgrade Team, Plasma Phys. Control. Fusion 47, 1165 (2005).
- 12. A.V. Melnikov, V. A. Vershkov, L.G. S.A. Grashin. A. V. Gudozhnik, L. I. Krupnik. S.E. Lysenko, V.A. Mavrin, S.V. Perfilov, D. A. Shelukhin, S. V. Soldatov, M. V. Ufimtsev, A.O. Urazbaev, G. van Oost, and L.G. Zimeleva, Plasma Phys. Control. Fusion 48, S87 (2006).
- C. Silva, J.C. Hillesheim, C. Hidalgo, E. Belonohy,
 E. Delabie, L. Gil, C.F. Maggi, L. Meneses, E. Solano,
 M. Tsalas, and JET Contributors, Nucl. Fusion 56, 106026 (2016).
- D. Prisiazhniuk, G.D. Conway, A. Krämer-Flecken, U. Stroth, and ASDEX Upgrade Team, Plasma Phys. Control. Fusion 60, 075003 (2018).
- J. Seidl, J. Krbec, M. Hron et al. (Collaboration), Nucl. Fusion 57, 126048 (2017).
- A. V. Melnikov, C. Hidalgo, L. G. Eliseev et al. (Collaboration), Nucl. Fusion 51, 083043 (2011).
- 17. A.V. Melnikov, L.G. Eliseev, S. V. Perfilov, V.N. Zenin, S.E. Lysenko, R.V. Shurygin, S.A. A.S. Grashin, L. I. Krupnik, Kozachek, R. Yu. Solomatin, A. G. Elfimov, A. I. Smolyakov, M. V. Ufimtsev, and The HIBP Team, Nucl. Fusion 55, 063001 (2015).
- А.В. Мельников, В.А. Вершков, С.А. Грашин, М.А. Драбинский, Л.Г. Елисеев, И.А. Земцов, В.А. Крупин, В.П. Лахин, С.Е. Лысенко, А.Р. Немец, М.Р. Нургалиев, Н.К. Харчев, Ф.О. Хабанов, Д.А. Шелухин, Письма в ЖЭТФ 115, 360 (2022).
- N. Winsor, J.L. Johnson, and J.M. Dawson, Phys. Fluids 11, 2448 (1968).
- S. Wang, Phys. Rev. Lett. 97, 085002 (2006); Erratum: Phys. Rev. Lett. 97, 129902 (2006).
- 21. C. Wahlberg, Phys. Rev. Lett. 101, 115003 (2008).
- R. G. F. Sgalla, A. I. Smolyakov, A. G. Elfimov, and M. F. Bashir, Phys. Lett. A 377, 303 (2013).
- 23. H. Ren, Phys. Plasmas 21, 044505 (2014).
- 24. V.P. Lakhin and E.A. Sorokina, Phys. Plasmas **25**, 072111 (2018).
- A. Fujisawa, T. Ido, A. Shimizu et al. (Collaboration), Nucl. Fusion 47, S718 (2007).
- 26. М. А. Драбинский, Характеристики геодезической акустической моды и квазикогерентной моды колебаний плазмы токамака Т-10 с омическим и СВЧ-нагревом: дис. канд. физ.-мат. наук: 1.3.9., М.

- (2023); http://nrcki.ru/files/pdf/Diss DMA.pdf
- 27. В. Д. Шафранов, ЖЭТФ **33**, 710 (1957).
- 28. E. Hameiri, Phys. Fluids 26, 230 (1983).
- J. P. Goedbloed and A. Lifschitz, Phys. Plasmas 4, 3544 (1997).
- В. И. Ильгисонис, Ю. И. Поздняков, Физика плазмы 28, 99 (2002).
- L. Guazzotto and R. Betti, Phys. Plasmas 12, 056107 (2005).
- J. W. Haverkort, H. J. de Blank, and B. Koren,
 J. Comput. Phys. 231, 981 (2012).
- 33. В. П. Лахин, Е. А. Сорокина, В. И. Ильгисонис, Л. В. Коновальцева, Физика плазмы **41**, 1054 (2015).
- V. I. Ilgisonis, V. P. Lakhin, N. A. Marusov,
 A. I. Smolyakov, and E. A. Sorokina, Nucl. Fusion
 62, 066002 (2022).
- V. P. Lakhin, V. I. Ilgisonis, and A. I. Smolyakov, Phys. Lett. A 374, 4872 (2010).
- P. Manz, M. Ramisch, and U. Stroth, Phys. Rev. Lett. 103, 165004 (2009).
- А.В. Мельников, Л.Г. Елисеев, С.Е. Лысенко, С.В. Перфилов, Р.В. Шурыгин, Л.И. Крупник, А.С. Козачок, А.И. Смоляков, Письма в ЖЭТФ 100, 633 (2014).
- A. V. Melnikov, M. A. Drabinskiy, L. G. Eliseev,
 P. O. Khabanov, N. K. Kharchev, L. I. Krupnik,
 J. L. De Pablos, A. S. Kozachek, S. E. Lysenko,
 A. Molinero, G. B. Igonkina, and M. M. Sokolov, Fusion
 Eng. Des. 146 Part A, 850 (2019).

- H. L. Berk, C. J. Boswell, D. Borba, A. C. A. Figueiredo,
 T. Johnson, M. F. F. Nave, S. D. Pinches,
 S. E. Sharapov, and JET EFDA contributors, Nucl.
 Fusion 46, S888 (2006).
- A. V. Melnikov, L. G. Eliseev, S. E. Lysenko,
 S. V. Perfilov, D. A. Shelukhin, V. A. Vershkov,
 V. N. Zenin, L. I. Krupnik, N. K. Kharchev, and HIBP team, J. Phys. Conf. Ser. 591, 012003 (2015).
- 41. A.V. Melnikov, L.G. Eliseev, S.A. Grashin, M. A. Drabinskiy, P.O. Khabanov, N.K. Kharchev, V.A. Krupin, S.E. Lysenko, Nemets. A.R. M. R. Nurgaliev, D. A. Ryzhakov, R. V. Shurygin, N.A. Soloviev, V.A. Vershkov, and T-10 28th IAEA Fusion Energy TEAM, Conference (FEC 2020). May 10-15, 2021. Virtual Event. https://conferences.iaea.org/event/214/contributions/ 17104/.
- R. A Stern and N. Tzoar, Phys. Rev. Lett. 17, 903 (1966).
- 43. S. A Neyfeh and A. H Neyfeh, International Journal of Bifurcation and Chaos 3, 417 (1993).
- A. H. Neyfeh and D. T. Mook, Transactions of ASME 117, 186 (1995).
- H. F. Hu, W. J. Staszewski, N. Q. Hu, R. B. Jenal, and G. J. Qin, Smart Mater. Struct. 19, 065017 (2010).
- 46. M. Bagheri, M. Poot, M. Li, W.P. Pernice, and H.X. Tang, Nature Nanotech. 6, 726 (2011).
- 47. Б.Б Кадомцев, *Коллективные явления в плазме*, Наука, М. (1976).
- 48. A. S. Bakai, Nucl. Fusion 10, 53 (1970).